



Παναγιωτόπουλος Ιωάννης

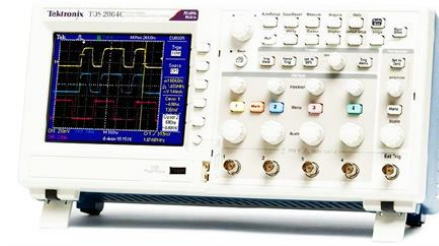
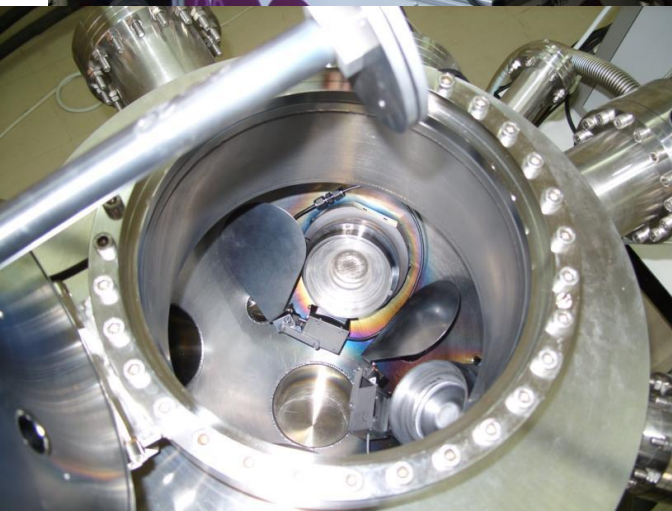
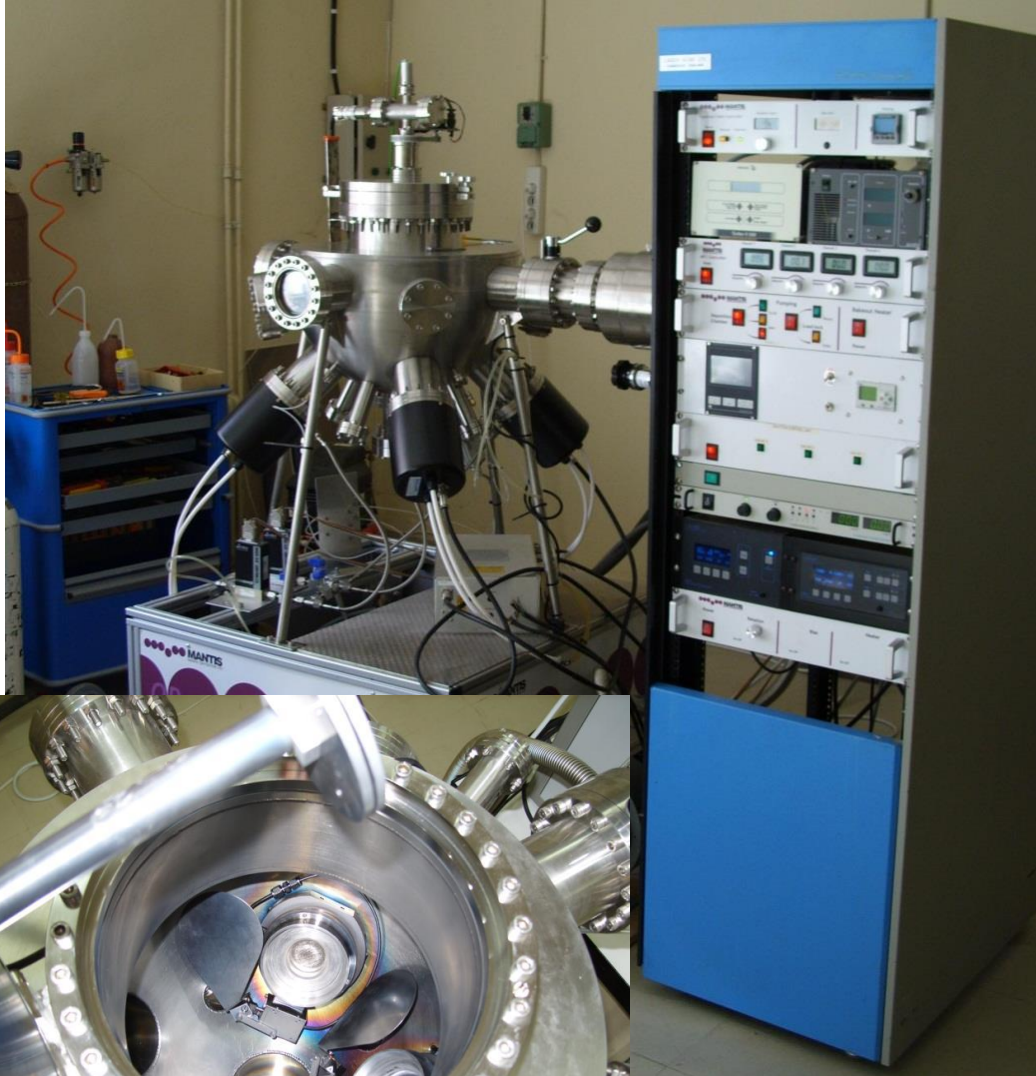
Μαγνητικά Υλικά



Περίγραμμα

- Εξοπλισμός
- Πολυστρωματικά Υμένια
- Δίκτυα Νανοδοσφαιρών
- Τοπολογικές μαγνητικές δομές
(μη συμμετρική επιστοίβαση)
- Φοιτητές/Συνεργάτες

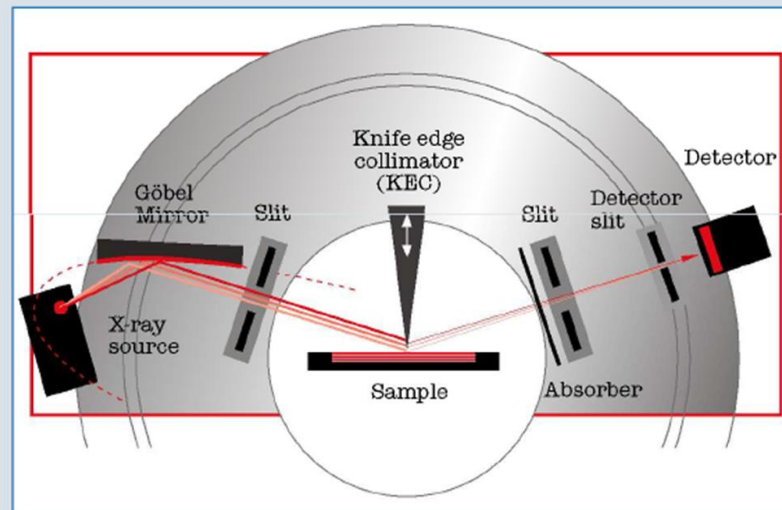
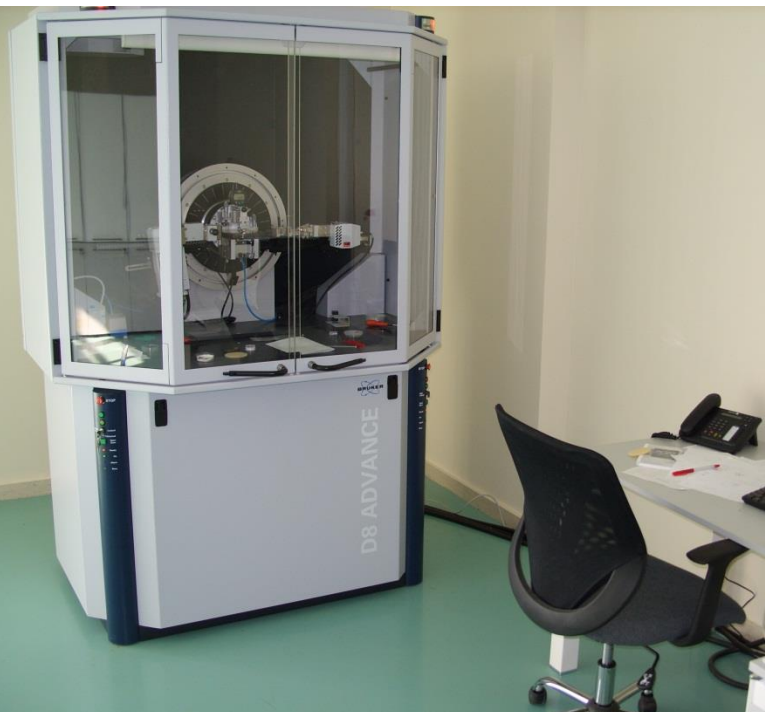
Εξοπλισμός



Περιθλασιμέτρο ακτίνων-Χ παράλληλης δέσμης

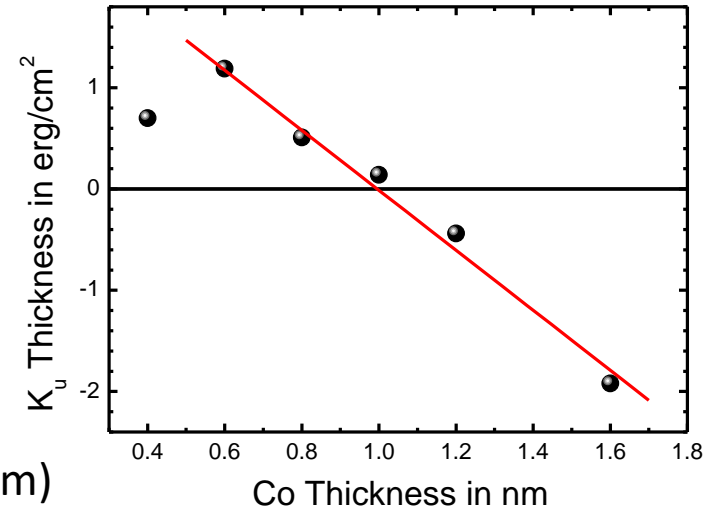
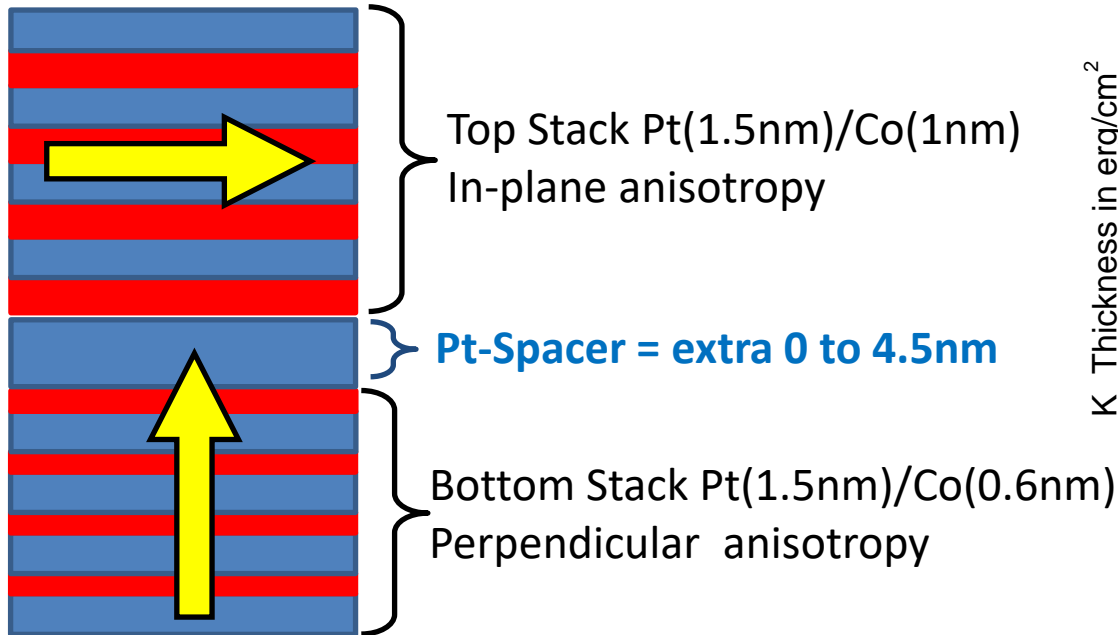


X-Ray Reflectometry Experimental Setup



- Γωνιόμετρο υψηλής ακριβείας με χωριστή κίνηση για γωνίες λυχνίας και ανιχνευτή
- Παραβολικός καθρέπτης (Goebel mirror) για παραλληλισμό της δέσμης.
- Τράπεζα δείγματος με μικρομετρική ρύθμιση ύψους και δυνατότητα άντλησης από αντλία διαφράγματος για σταθεροποίηση του δείγματος.
- Μαχαίρι αποκοπής της αρχικής δέσμης με μικρομετρική ρύθμιση ύψους

$[\text{Co}(6\text{\AA})/\text{Pt}(15\text{\AA})]_4/\text{Pt}(s)/[\text{Co}(10\text{\AA})/\text{Pt}(15\text{\AA})]$



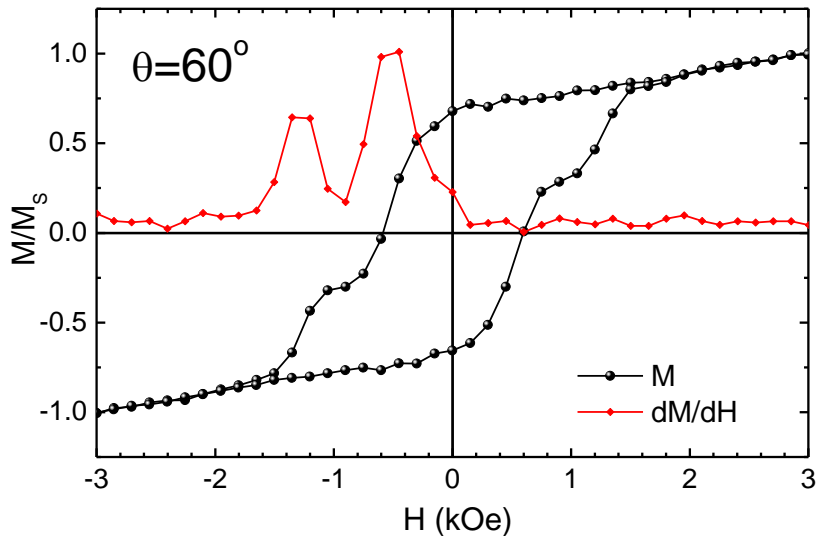
“Coupling dependent reversal in Co/Pt based mixed anisotropy multilayer stacks”
A. Markou et al, J Magn and Magn Mater **485** (2019) 205–211

“Study of magnetization reversal in layered heterostructures by vector magnetometry”
A. Markou et al, JMMM **445** (2018) 95–102

“Magnetization reversal in graded anisotropy Co/Pt multilayers” A. Markou et al J. Appl. Phys. **112**, 123914 (2012); doi: 10.1063/1.4770487

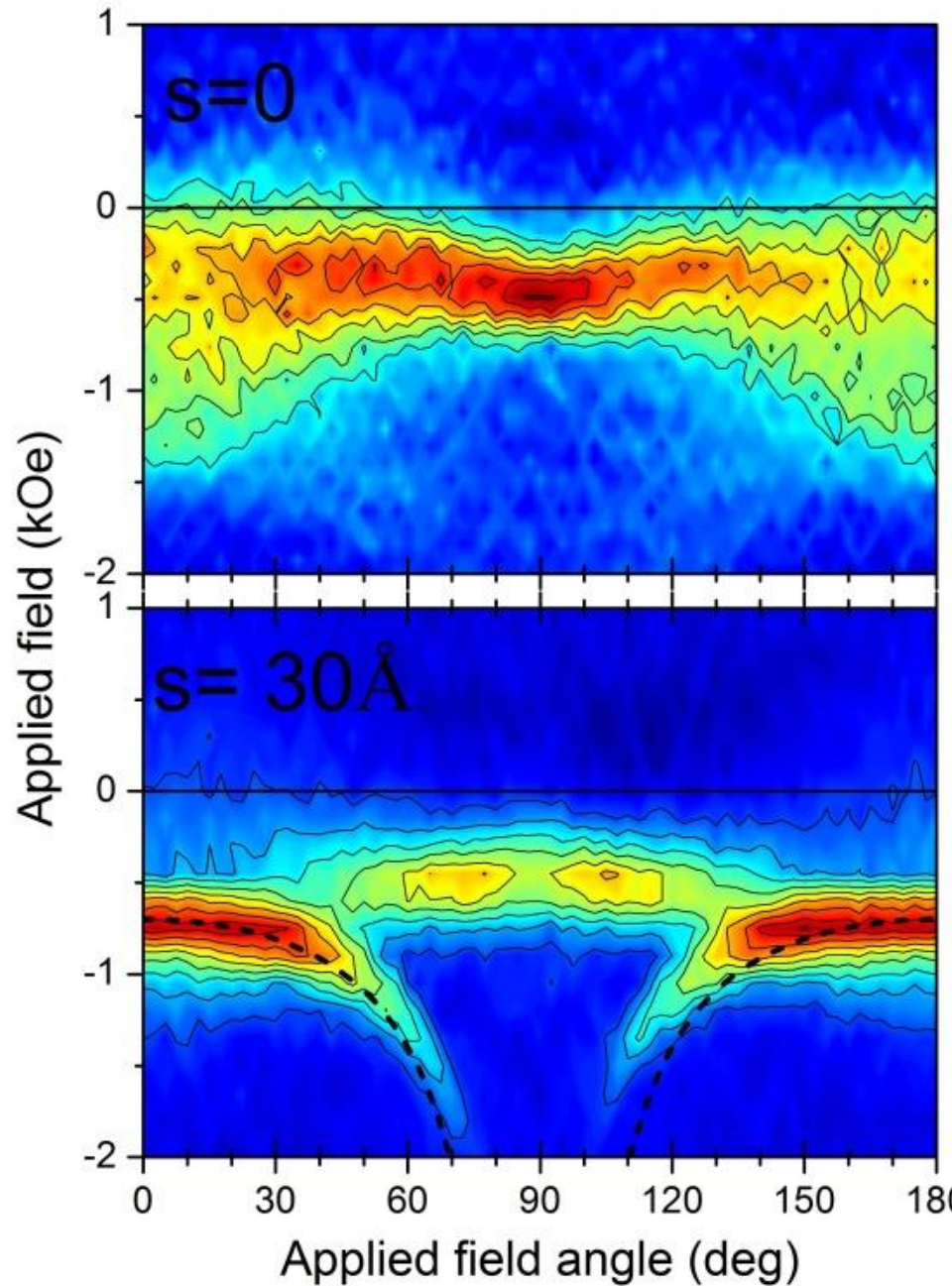
“Magnetization reversal in $[\text{Ni}/\text{Pt}]_6/\text{Pt}(x)/[\text{Co}/\text{Pt}]_6$ multilayers”, N. Siadou et al. JMMM323 (2011) 1671–1677

Decoupling: dM/dH plots

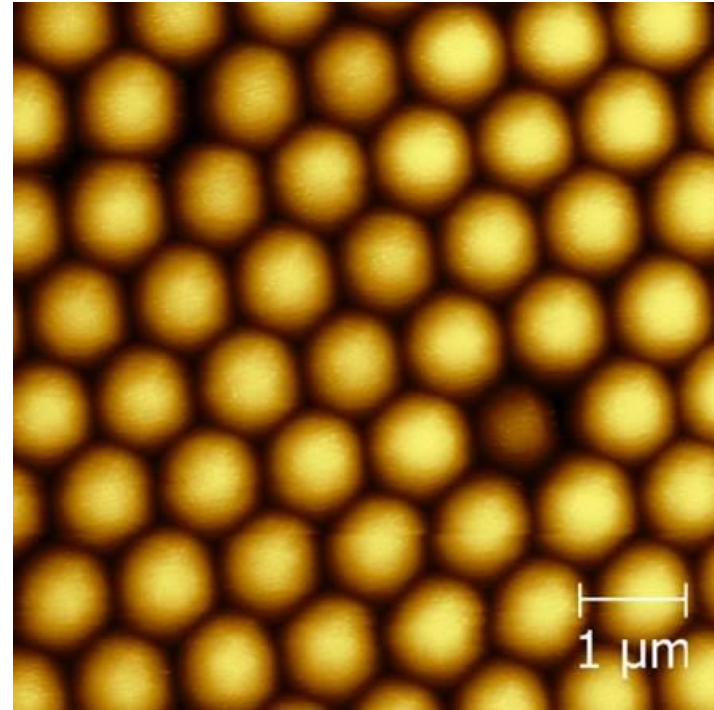
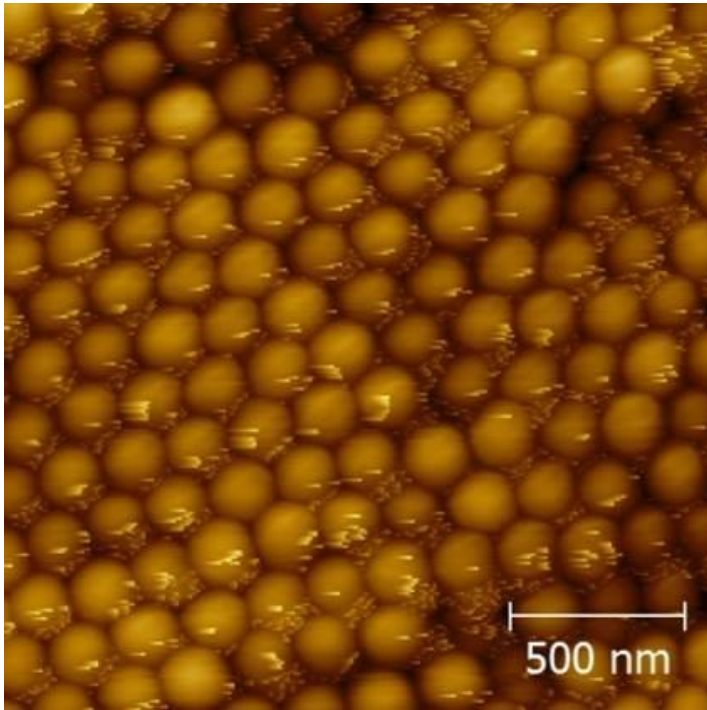


The decoupling can be visualised by two dimensional maps of the derivative of $M(H)$ curve as a function of H , θ that depict the decoupling range for each θ

The switching field of the softer part remains almost constant (while the harder one follows a pinning type $H_c = 0.7 \text{ kOe}/\cos\theta$ angular dependence)

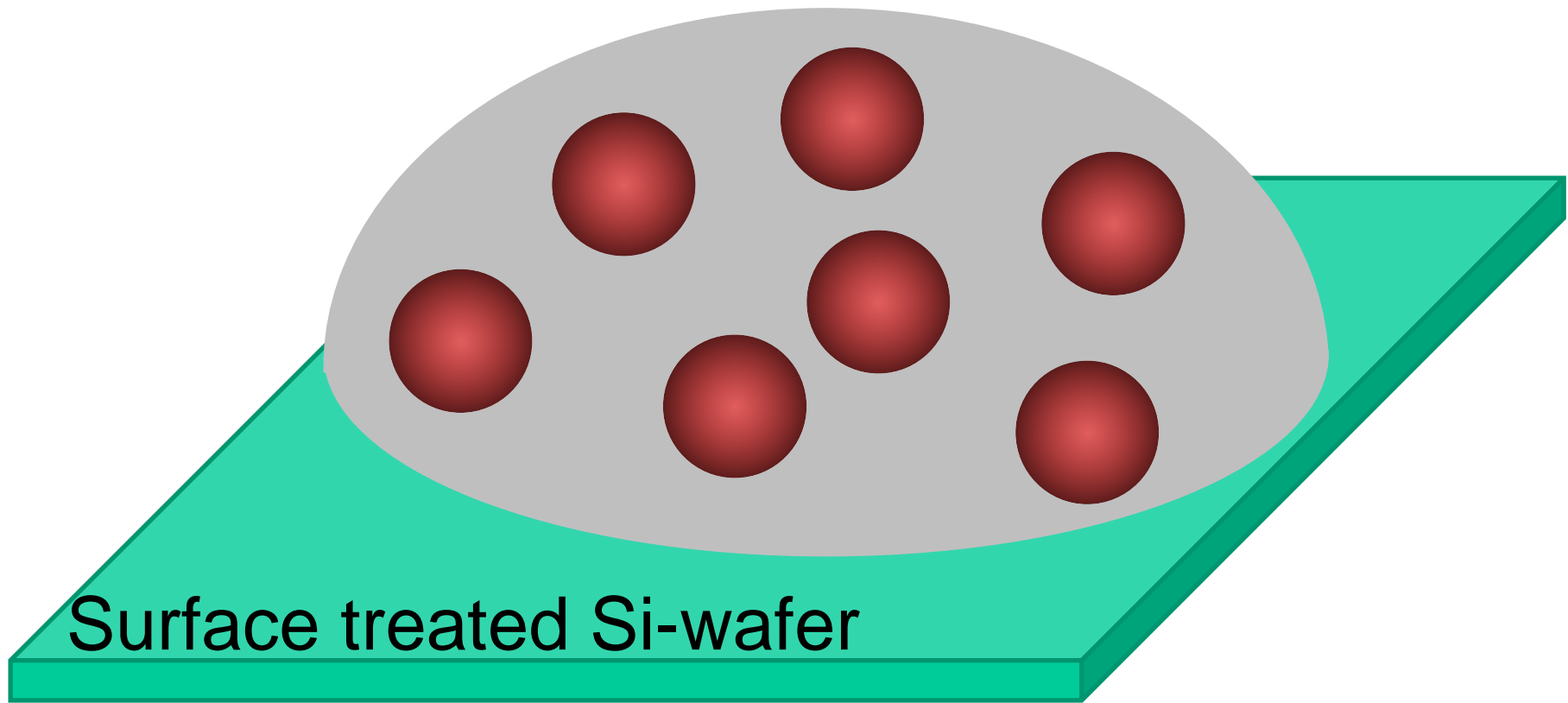


Polystyrene Nanosphere Arrays

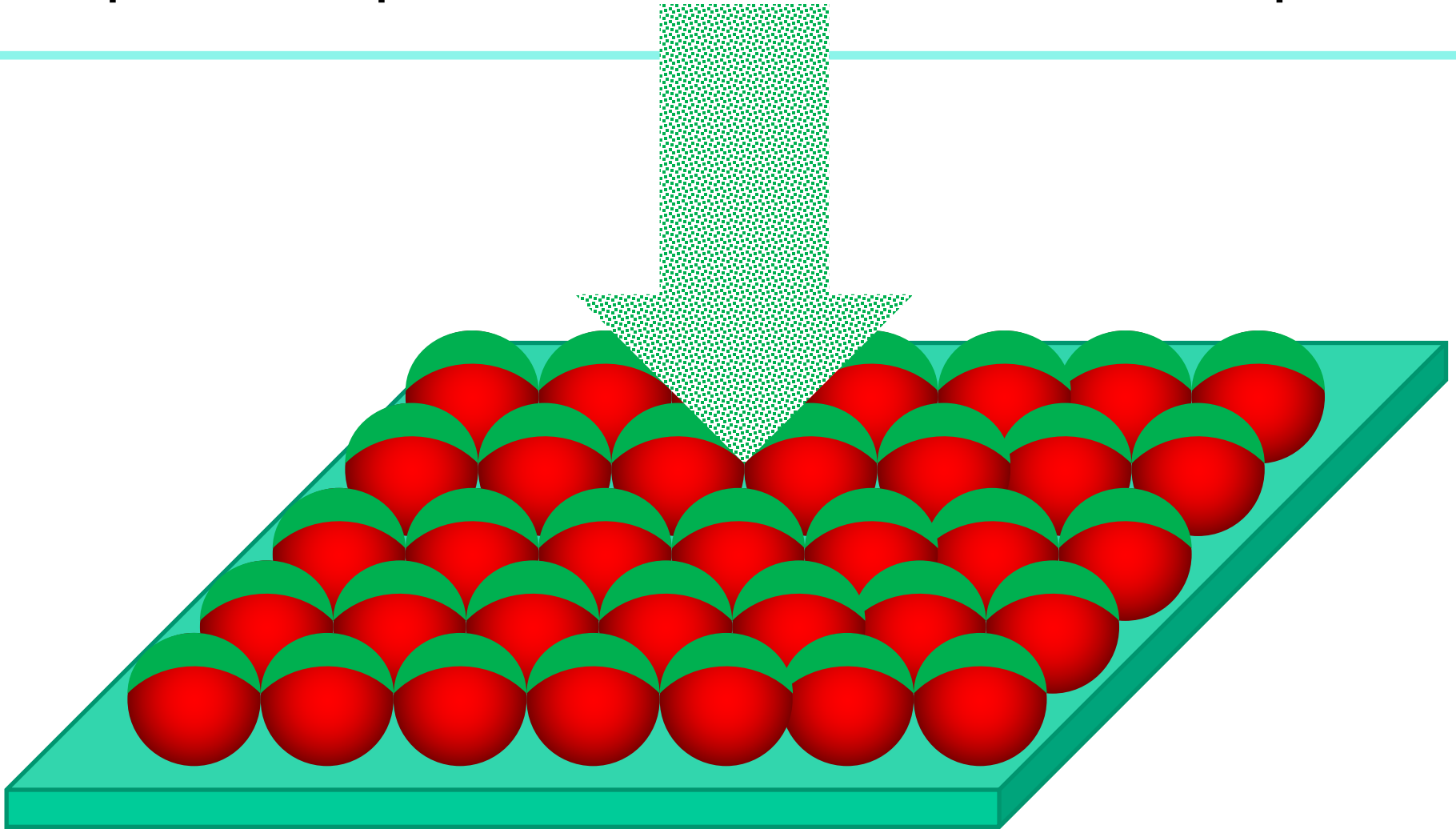


Markou et al. J. Appl. Phys. 112, 123914 (2012); doi: 10.1063/1.4770487

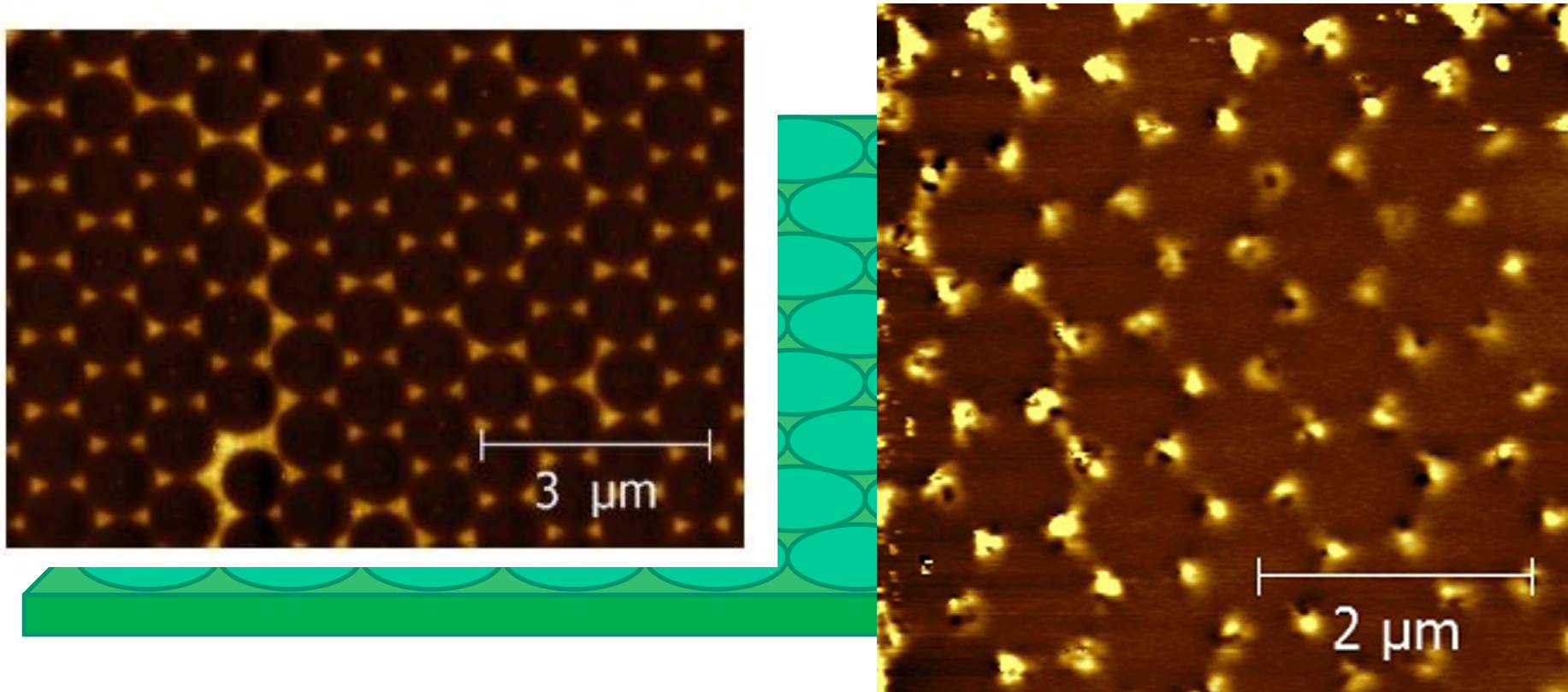
Nanosphere dilute suspension



Sputter deposition: Formation of nanocaps

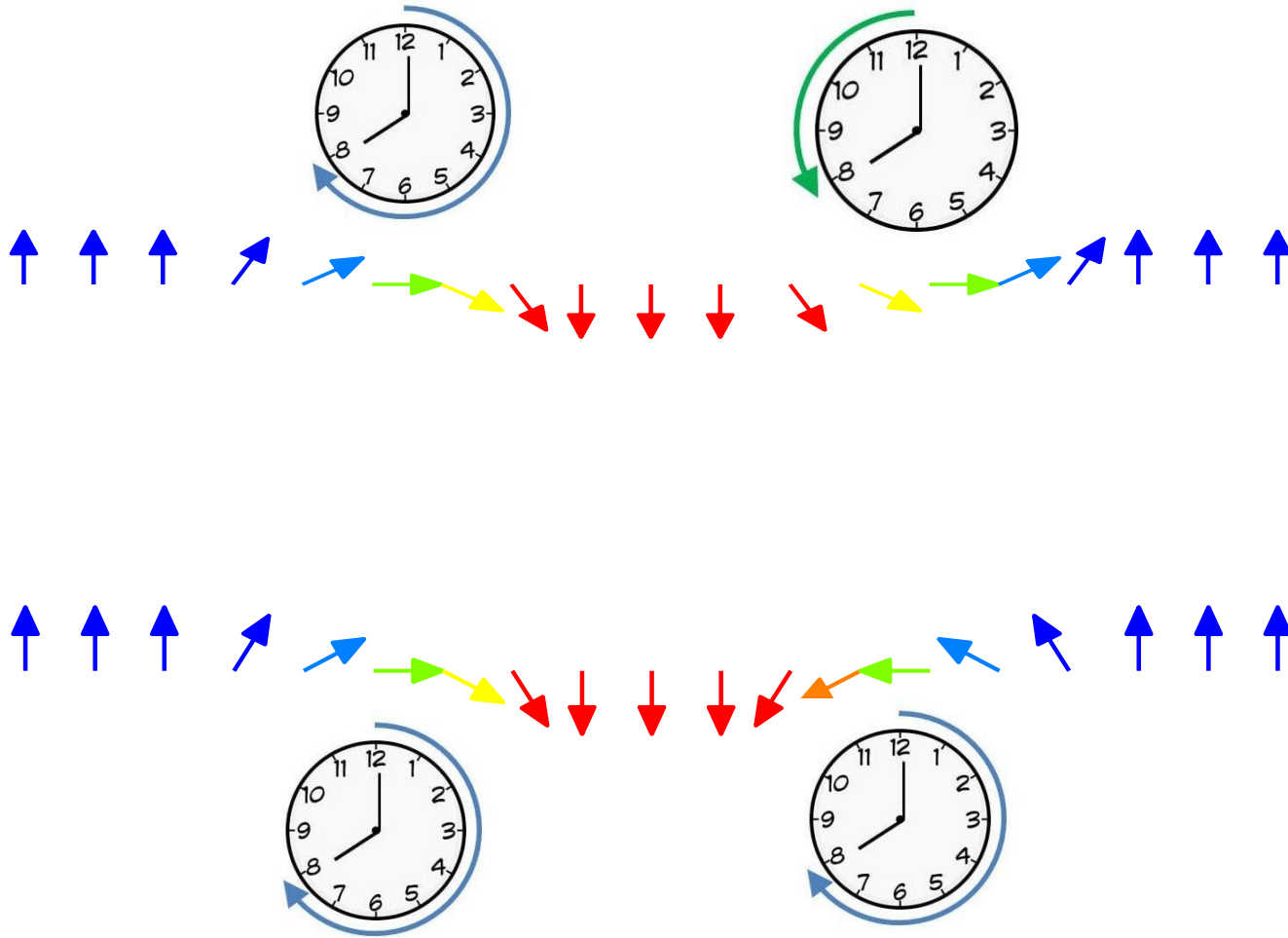


Nanosphere Removal: Formation of triangles , Covered Area $\approx 9.4\%$

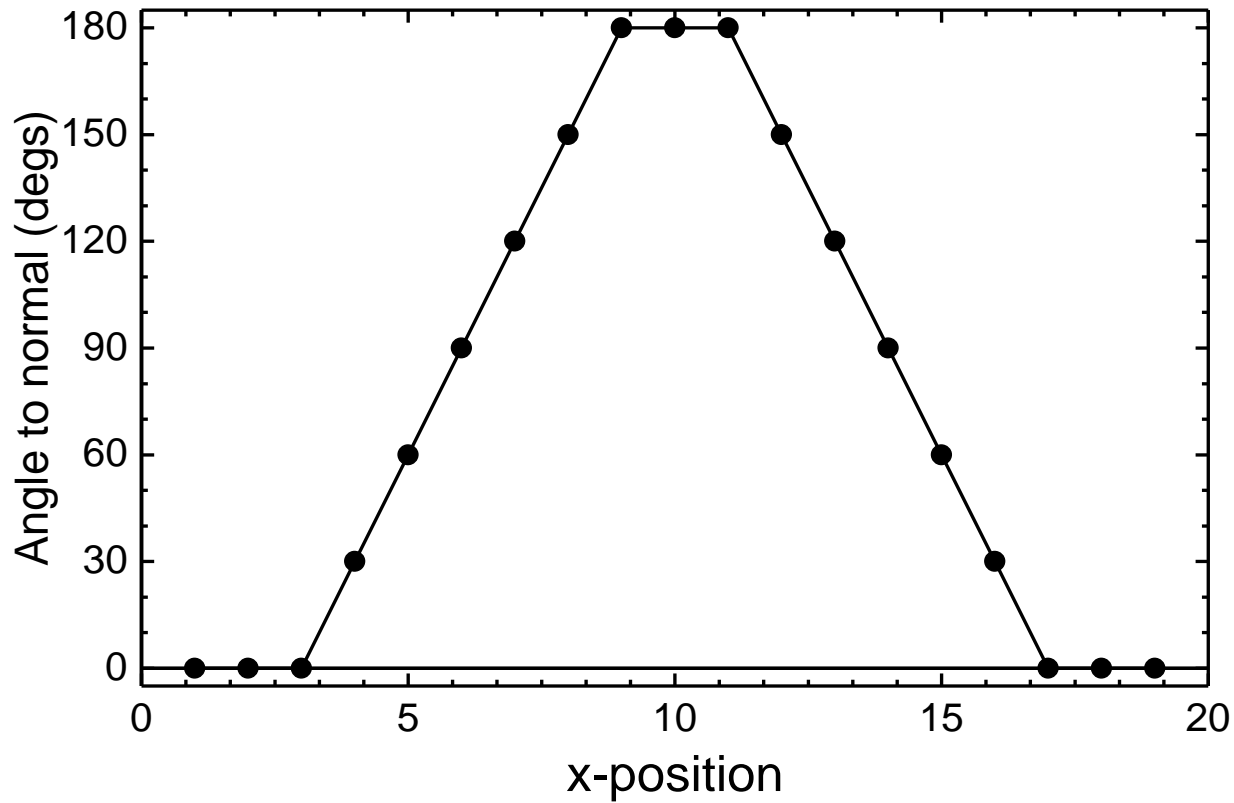
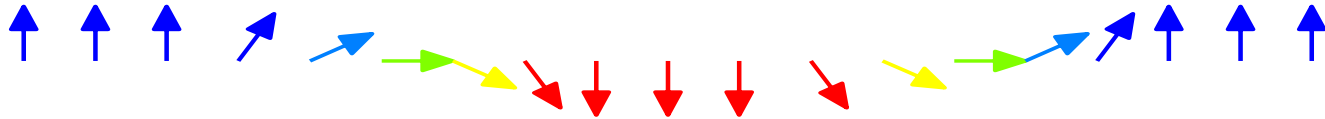


“Magnetization reversal in triangular $L1_0$ -FePt nanoislands” Markou et al. Journal of Magnetism and Magnetic Materials 334 (2013) 107

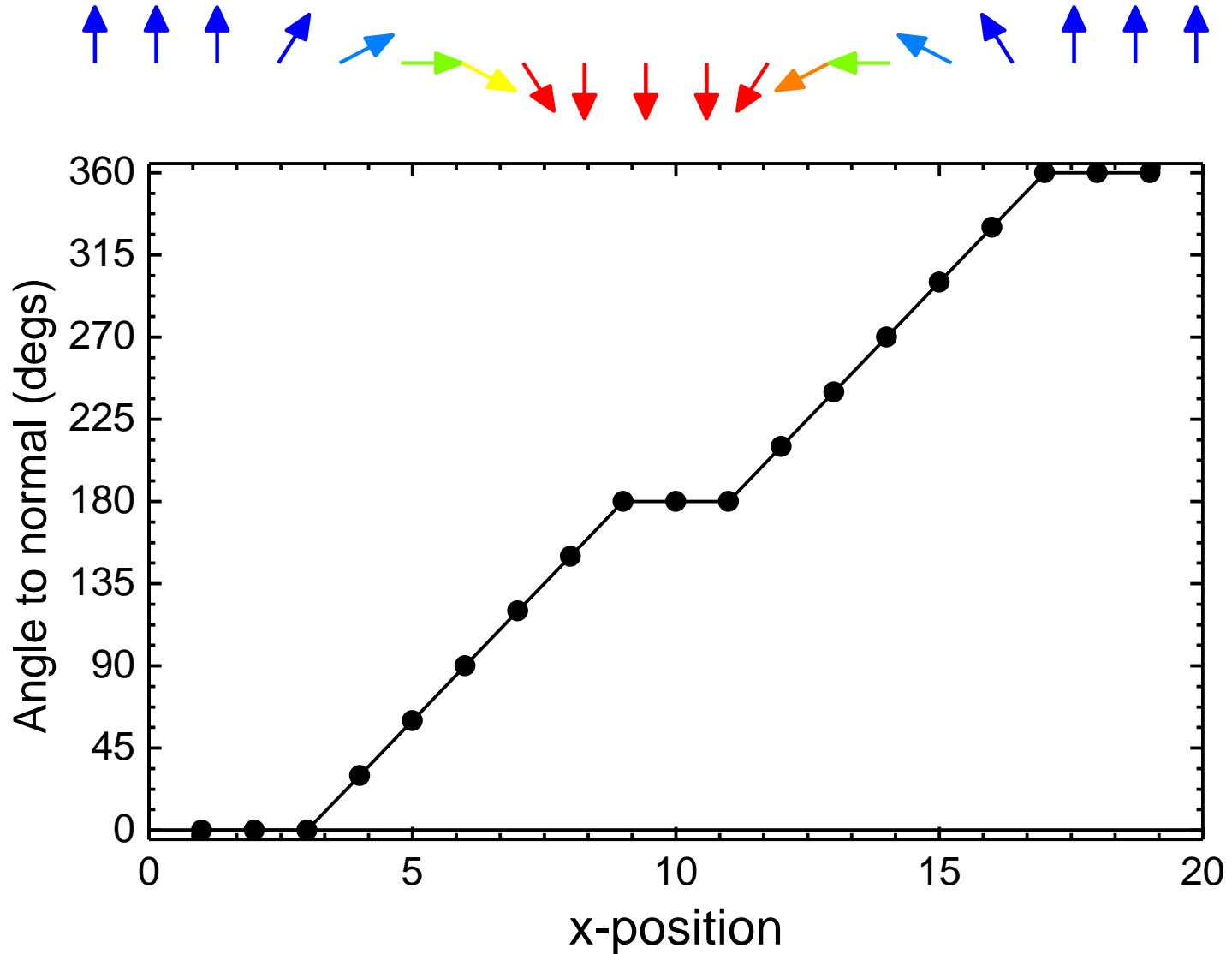
Χειρομορφία σε 1d-Τοίχωμα



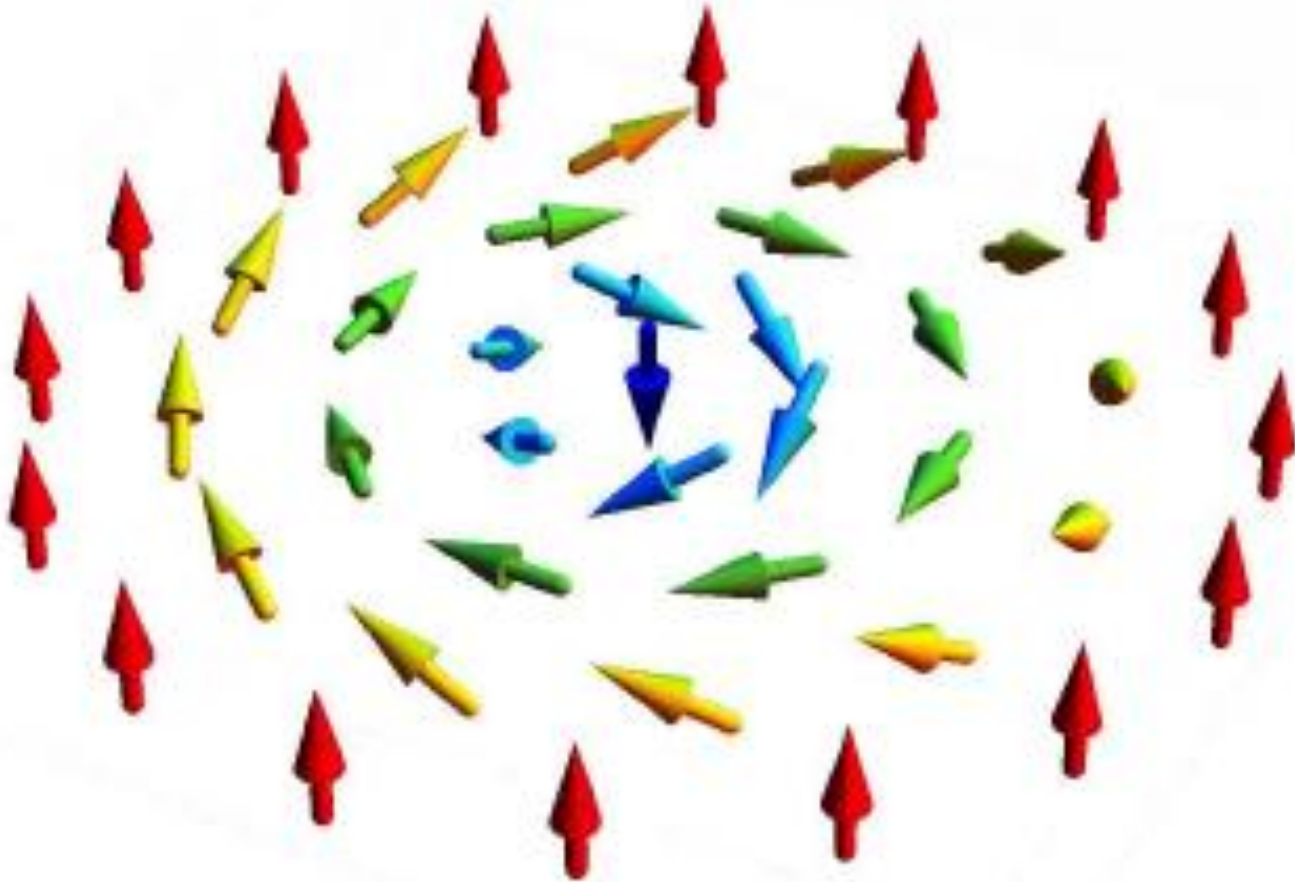
Τοίχωμα χωρίς χειρομορφία



Τοίχωμα με χειρομορφία



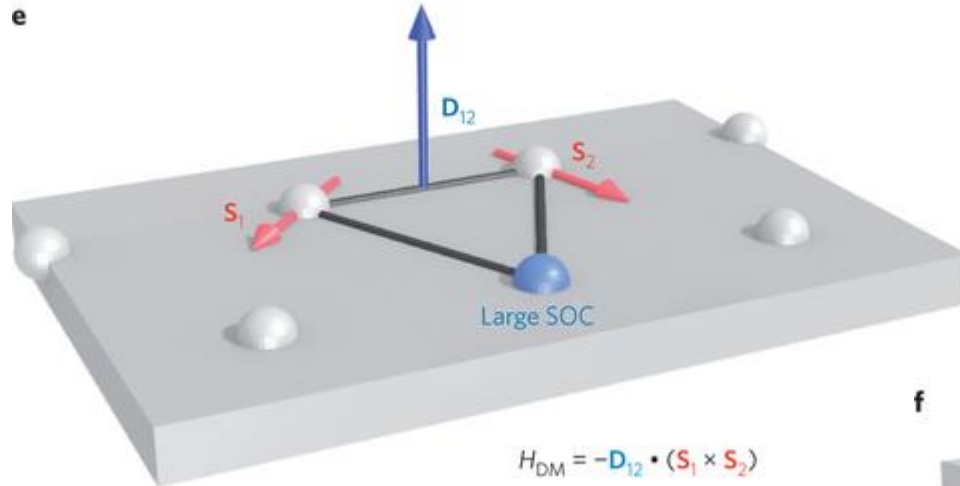
«Τοπολογικά προστατευμένες» μαγνητικές δομές



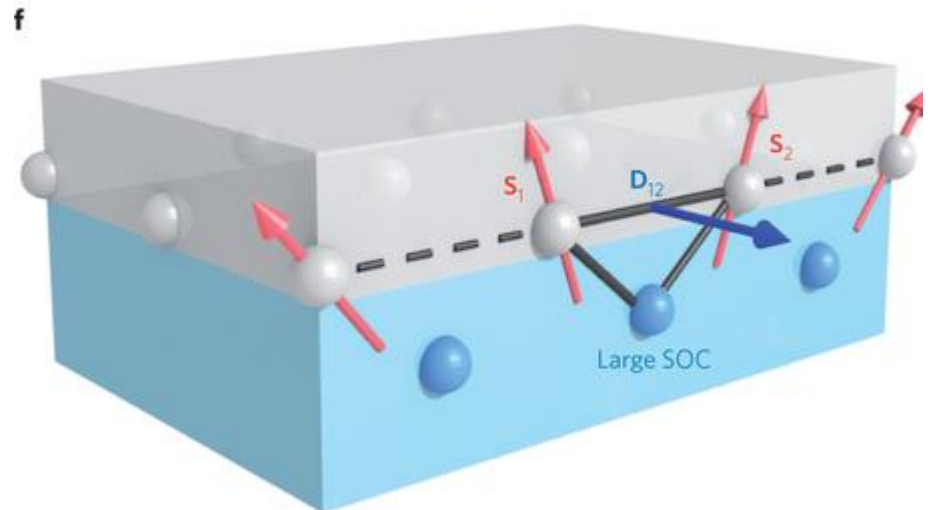
$$N_{\text{Skyrmion}} = \frac{1}{4\pi} \int m \cdot \left(\frac{\partial m}{\partial x} \times \frac{\partial m}{\partial y} \right) = \frac{1}{4\pi} \int_{\Phi(\phi)}^{\Theta(r)} \sin\Theta d\Theta \cdot \int d\Phi$$

Dzyaloshinskii–Moriya Interaction (DMI)

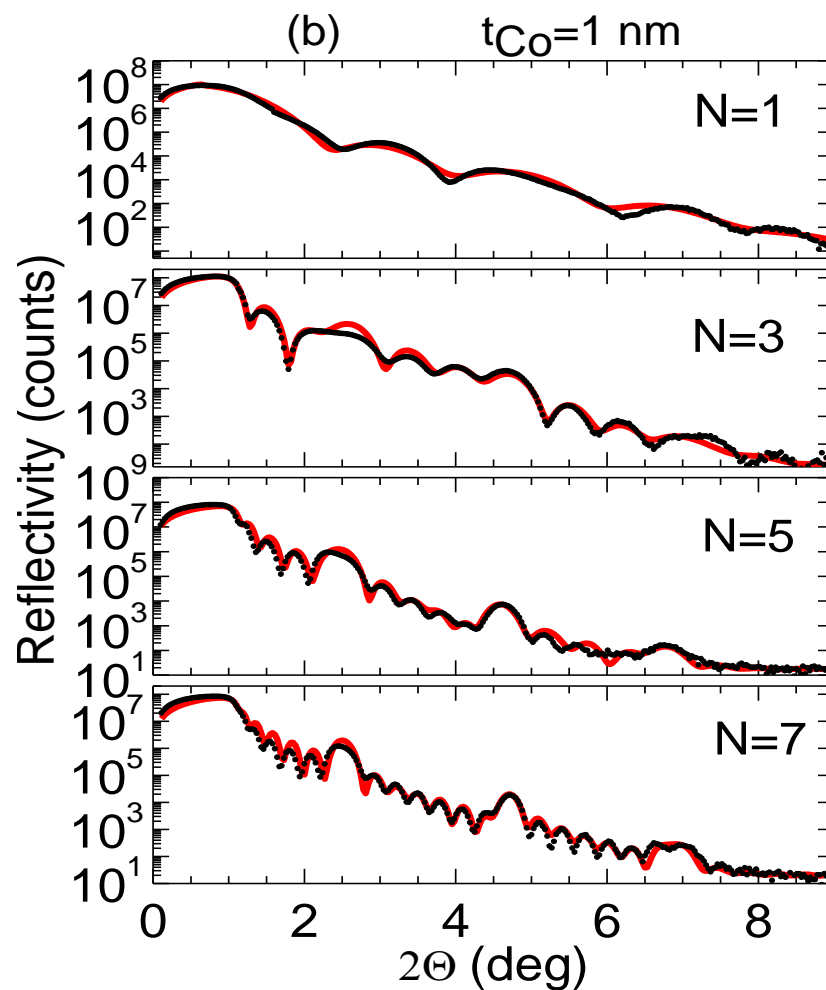
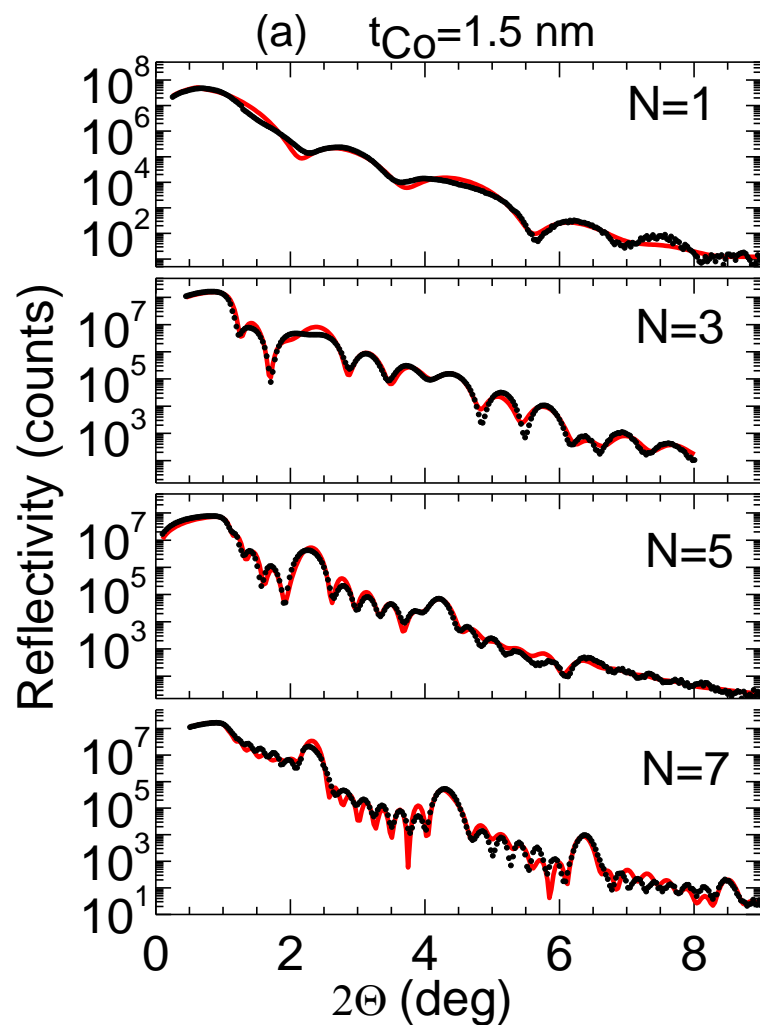
$$E = -2J_{ex}\vec{S}_1\vec{S}_2 - \vec{D} \cdot (\vec{S}_1 \times \vec{S}_2)$$



$$H_{DM} = -D_{12} \cdot (S_1 \times S_2)$$

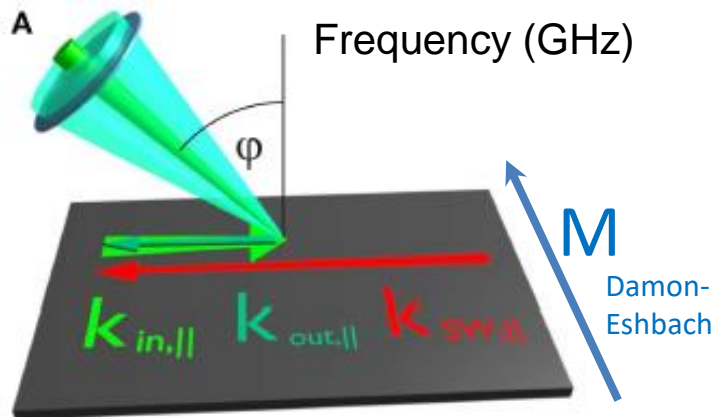
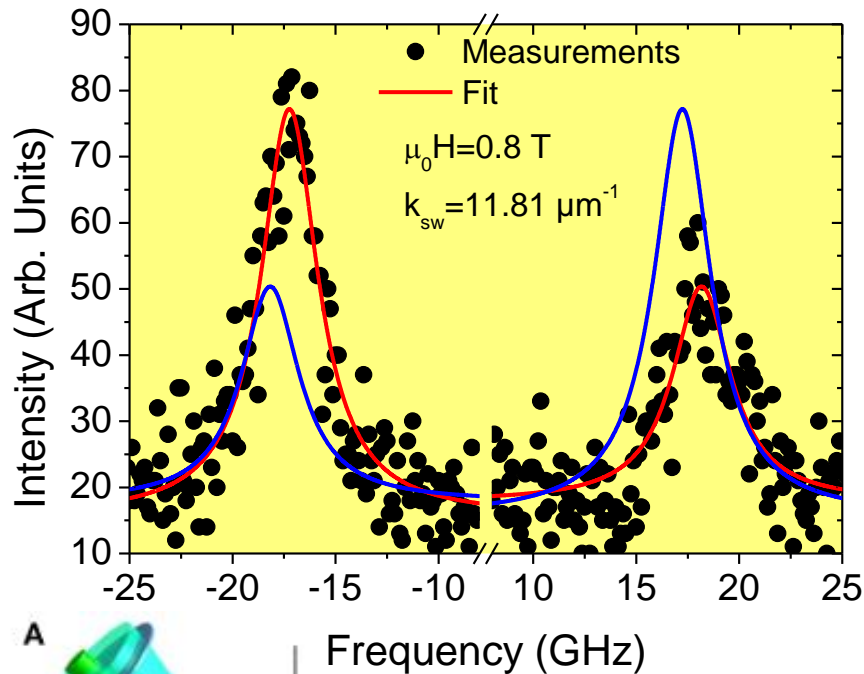


XRR ($\text{Pt}_{1.5}/\text{Co}_x/\text{W}_{1.5}$)_N

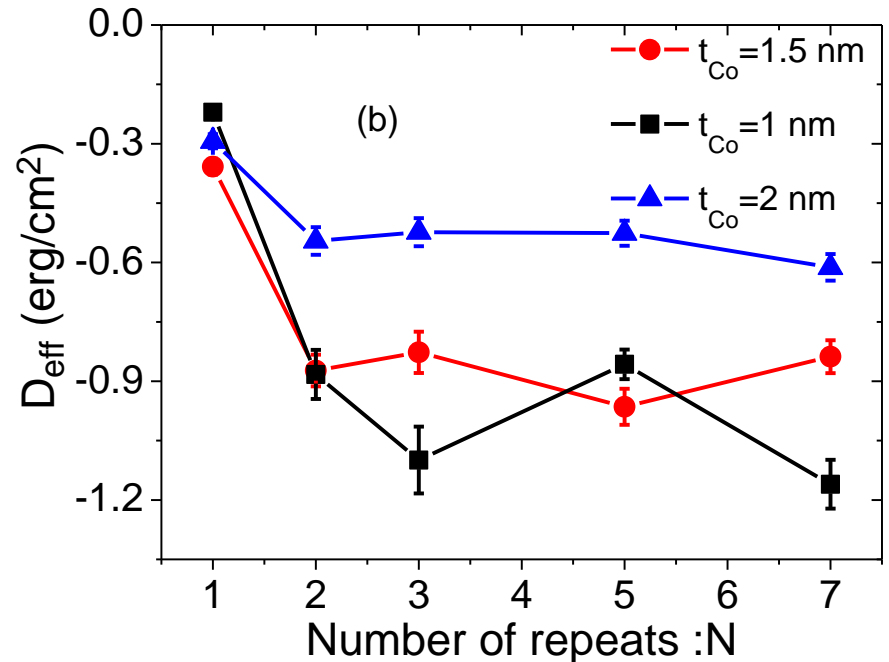


Pt/Co/W – BLS

(nonreciprocal spin waves and DMI)



Brillouin Light Scattering Geometry



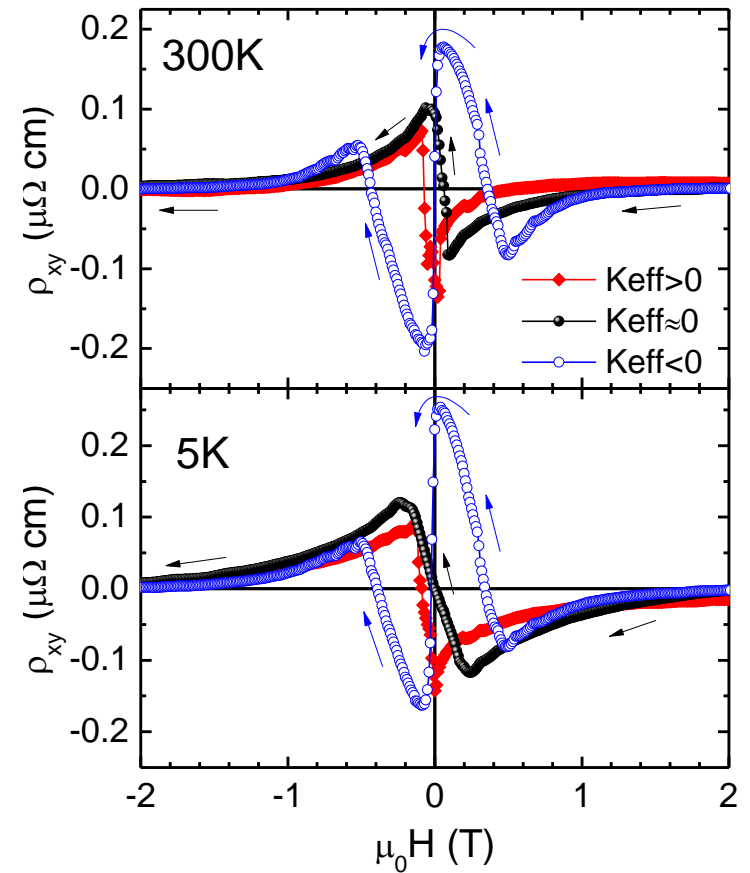
«Interfacial Dzyaloshinskii-Moriya interaction, interface-induced damping and perpendicular magnetic anisotropy in Pt/Co/W based multilayers», Benguettat-El Mokhtari et al, J. Appl. Phys. **126** (2019) 133902

Spin-wave wavelengths are orders of magnitude smaller compared to electromagnetic of the same frequency, they allow for the design of micro- and nano-sized devices.

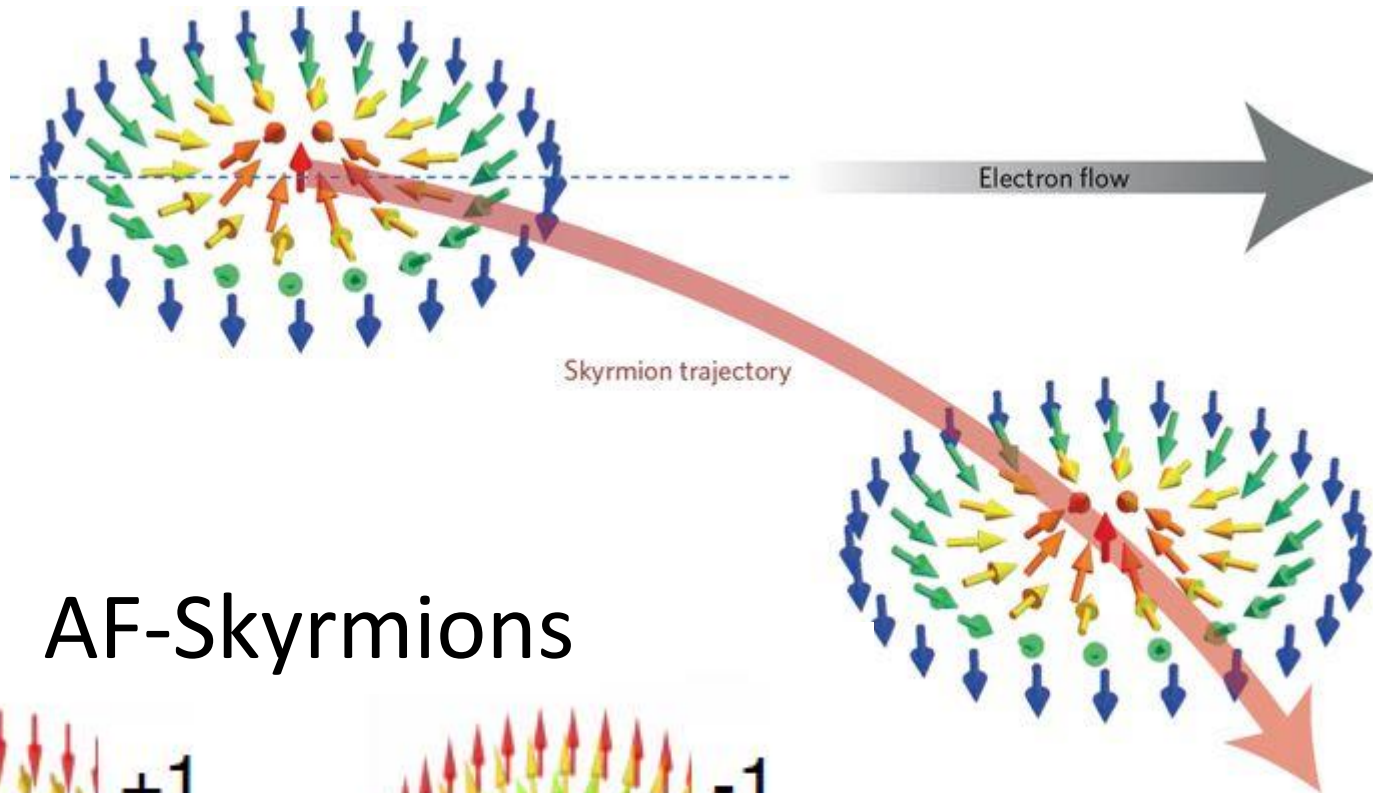
Pt/Co/W Τοπολογικό φαινόμενο Hall

$$\rho_{xy}(H) = R_0 H + R_S M(H) + \rho_T$$

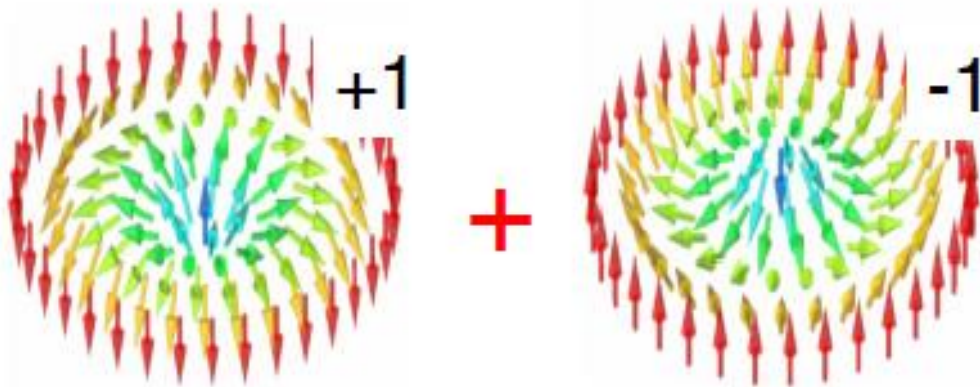
	Co layer	K_{eff} (kJ/m ³)		AHE ($\mu\Omega$ cm)	
		at 300 K	at 5K	at 300K	at 300K
$K_{\text{eff}} > 0$	1.5 nm	165	1.30	1.18	
$K_{\text{eff}} \approx 0$	1.7 nm	-30	1.35	1.24	
$K_{\text{eff}} < 0$	2.0 nm	-310	1.59	1.55	



Skyrmion Hall effect



AF-Skyrmions



Συνεργάτες

PhD Students

Mourkas Angelos Pt/Co/W, magnetic nanospheres

Ntetsika Panagiota SAF

Thanos Christos Micromagnetics

Collaborators

- Belmegunai M., LSPM, CNRS-Université Paris 13, France
- Stancu A., Centre for Appl. Research in Physics and Adv. Tech., Iasi, Romania
- Markou A, Max Planck Institute for Chem Phys of Solids, Dresden, Germany
- Frédéric Ott, LLB CEA/CNRS UMR12, Centre d'Etudes de Saclay, France
- Litsardakis G, Electrical Engineering, AUTH
- Niarchos D, Tzitzios V , NCSR "Demokritos"